

การศึกษาเชิงทดลองของขนาดและความสูงของท่อทึ้งไอเสียต่อคุณลักษณะการเผาไหม้ เชื้อเพลิงแกลบในห้องเผาไหม้แบบหมุนวน

Experimental Study of A Size and Exhaust Pipe Length on Combustion Characteristics in A Swirl Chamber for Burning Rice Husk Fuel

วิศิษฐ์ ลีลาภัติกุล

ภาควิชาวิศวกรรมเครื่องกล คณะวิศวกรรมศาสตร์ มหาวิทยาลัยสยาม

235 ถนนเพชรเกษม เขตภาษีเจริญ กรุงเทพฯ 10163

โทร. 0-2457-0068, โทรสาร 0-2457-3982, E-mail: wisitle17@yahoo.com, wisit.l@siam.edu

Wisit Lelaphatikul

Department of Mechanical Engineering, Faculty of Engineering, Siam University

235 Petkasam Road, Phasicharoen, Bangkok 10163

Tel. 0-2457-0068, Fax 0-2457-3982, E-mail: wisitle17@yahoo.com, wisit.l@siam.edu

บทคัดย่อ

บทความนี้นำเสนอการศึกษาเชิงทดลองของผลกระทบจากการเปลี่ยนแปลงขนาดและความสูงของท่อทึ้งไอเสียต่อคุณลักษณะการเผาไหม้เชื้อเพลิงแกลบ ในห้องเผาไหม้แบบหมุนวน ซึ่งมีขนาดเส้นผ่าศูนย์กลางของท่อทึ้งไอเสียที่ใช้ในการทดลองมีทั้งสิ้น 3 ขนาด คือ 50 mm(0.2D), 100 mm(0.4D) และ 150 mm(0.6D) ส่วนความสูงของท่อทึ้งไอเสีย ถูกออกแบบให้ปรับเปลี่ยนได้ 4 ระดับ คือ 500 mm(2.0D), 625 mm(2.5D), 750 mm(3.0D) และ 875 mm(3.5D) ตามต้องการ ซึ่งมีการติดตั้งตำแหน่งท่อฉีดอากาศไว้ในแนวสัมผัสรอบๆ ผนังห้องเผาไหม้ เพื่อทำให้เกิดการไหลหมุนวน ของอากาศภายใน การกระจายอุณหภูมิภายในเตาเผาจะพิจารณาโดยการปรับค่า equivalence ratio (Φ) เท่ากับ 0.8, 0.9, 1.0, 1.1 และ 1.2 โดยแต่ละการทดลอง กำหนด อัตราส่วนการไหลเชิงปริมาตรของอากาศทุกตัวกับตัวอากาศทั้งหมด (λ) คงที่เท่ากับ 0.15 ที่อัตราการไหลของเชื้อเพลิงแกลบคงที่เท่ากับ 0.2 kg/min จากผลการทดลองการเปลี่ยนขนาดและความสูงของท่อทึ้งไอเสีย เท่ากับ 0.2D และ 2.5D ตามลำดับ, ที่ $\Phi = 0.8$ จะให้อุณหภูมิเฉลี่ยสูงสุดภายในเตาเผาประมาณ 1,050 °C และพบว่าก๊าซไอเสียที่วัดจากทางออกท่อไอเสียประกอบด้วย O₂= 4.9 %, CO₂= 11.5 % และ CO= 342 ppm.

คำสำคัญ: ขนาด, ความสูง, ห้องเผาไหม้แบบหมุนวน, การไหลหมุนวนอากาศ

Abstract

This paper presents the experimental study of a shape and exhaust pipe length on combustion characteristics in swirl chamber. The diameter of combustion chamber is 250 mm (D). The diameters of exhaust pipe are designed to be adjustable for three-size: 50 mm (0.2D), 100 mm (0.4D), and 150 mm (0.6D). The height of exhaust pipe is varied to be 4 different lengths: 500 mm (2.0D), 625 mm (2.5D), 750 mm (3.0D) และ 875 mm (3.5D) as desired with a set of air nozzles placing circumferentially on the chamber to produce air-swirl flow inside. The temperature distribution inside the combustor is measured according to equivalence ratio, Φ of 0.8, 0.9, 1.0, 1.1 and 1.2. The ratio of volumetric flow rates of the secondary air to the total air (λ) was fixed at 0.15. The feed rate of rice husk was held constant at 0.2 kg/min. The experiment shows the maximum average temperature about 1,050 °C when a shape and exhaust pipe length is 0.2D and 2.5D respectively, $\Phi = 0.8$. The emission of exhaust gas from the stack are composed of O₂=4.9 %, CO₂=11.5 % and CO=342 ppm.

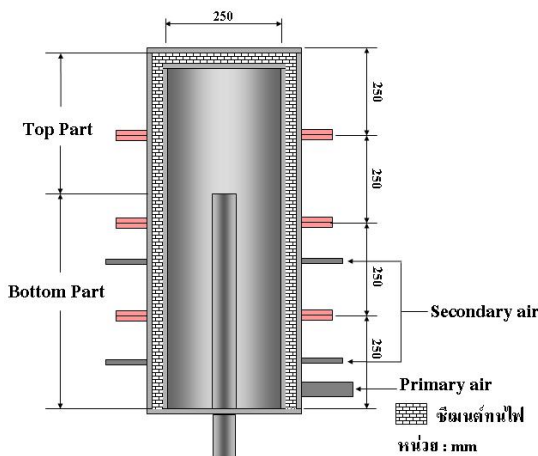
Keywords: size, length, swirl chamber, air-swirl flow

1. ບ່ານໍາ

ปัจจุบันวิกฤตการณ์การใช้พลังงานมีเพิ่มอย่างมาก ทั้งทางภาคอุดuctส่าหกรรม, เกษตรกรรมและการประมง ซึ่งพลังงานดังกล่าวส่วนใหญ่เกือบทั้งหมดจะได้มาจากการน้ำมัน碧โตรเลียมและกําชธรรมาชาติ แต่ในขณะนี้ราคาน้ำมันในตลาดโลกมีราคาสูงขึ้นอยู่ทุกวัน จึงทำให้ทั้งองค์กรรัฐและเอกชนต่างให้ความสนใจในการวิจัยและพัฒนาวัสดุเหลือใช้ทางภาคอุดuctส่าหกรรมและเกษตรกรรม เพื่อนำมาใช้ผลิตเป็นพลังงานทดแทนแหล่งทรัพยากรทางธรรมาชาติเดิมซึ่งได้แก่ น้ำมัน碧โตรเลียม, กําชธรรมาชาติ ที่นับวันกำลังลดลงเรื่อยๆ เชื้อเพลิงชีวมวล เป็นเชื้อเพลิงที่เกิดจากผลผลิตไได้ทางการเกษตรกรรมหรือวัสดุเหลือใช้จากโรงงานอุดuctส่าหกรรม เช่น แกลบ ขี้เลือย ชานอ้อย เป็นต้น ซึ่งถือเป็นเชื้อเพลิงคุณภาพดี แต่ราคากลางและสามารถนำมาเป็นเชื้อเพลิงได้เป็นอย่างดี ดังจะเห็นได้จาก การนำแกลบใช้เป็นเชื้อเพลิงเพื่อผลิตไวน้ำใช้ในโรงสีข้าวหรือนำความร้อนที่ได้จากการเผาแกลบไปอบเมล็ดพืชเนื่องจากแกลบเป็นวัสดุชีวมวลคุณภาพดี ถ้าใช้วิธีการเผาใหม่แกลบในเตาเบิดปกติจะทำให้ได้ปริมาณความร้อนน้อยกว่าที่ควรจะได้ และทำให้เกิดมลพิษทางอากาศ เนื่องจากขี้เลือยที่เกิดจากการเผาใหม่ จะนั่นวิธีเผาใหม่เพื่อให้มีประสิทธิภาพของการเผาใหม่ดีที่สุดและสภาพแก๊สที่ออกจากปล่องไฟเป็นมลพิษน้อยที่สุด โดยใช้เทคนิคการหมุนวนของอากาศความเร็วสูงแบบบันปวน ที่มีผู้ได้ศึกษาและนำไปใช้เผาใหม่พากเชื้อเพลิงถ่านหิน[1] และวัสดุชีวมวลให้ผลดีมาแล้ว [2]

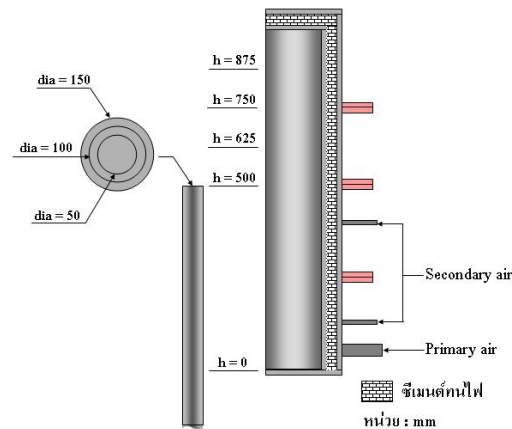
ในบทความนี้ได้ทำการศึกษาอิทธิพลขนาดและความสูงของท่อทึ้งไอลิเสียในห้องเผาใหม่แบบหมุนวน โดยพิจารณาถึงการกระจายอุณหภูมิภายในเตาเพาออร์เชค และ องค์ประกอบของก้าชไอลิเสียที่เกิดจากการเผาใหม่ ซึ่งการหมุนวนอย่างปั่นป่วนระหว่างอากาศและเชื้อเพลิงเกิดจากผลของ Recirculation zone [3] ซึ่งทำให้ได้ความร้อนสูงสุดที่เกิดจากการเผาใหม่ที่เหมาะสม

2. อุปกรณ์การทดลอง



รูปที่ 1 แสดงลักษณะของเตาเผาร์ทค และท่อทิ้งไอเสียภายในห้องเผาไหม้แบบหนวน

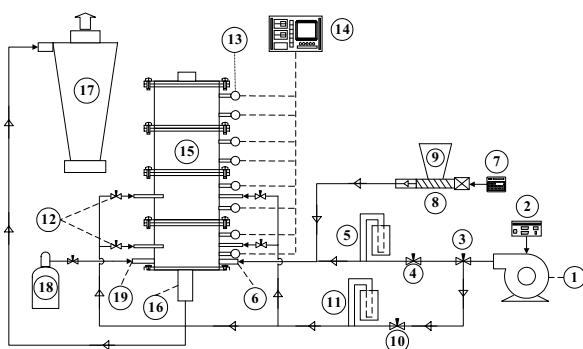
การออกแบบเดาเพาที่ใช้ในการทดสอบนั้น กำหนดห้องเพาใหม่แบบหมุนวน มีขนาดเส้นผ่านศูนย์กลางเท่ากับ 250 mm(D) กำหนดขนาดเส้นผ่านศูนย์กลางของห้องทึ้งไอเสียที่ใช้ในการทดสอบมีทั้งสิ้น 3 ขนาด คือ 50 mm(0.2D), 100 mm(0.4D) และ 150 mm(0.6D) ส่วนความสูงของห้องทึ้งไอเสีย ถูกออกแบบให้ปรับเปลี่ยนได้ 4 ระดับ คือ 500 mm(2.0D), 625 mm(2.5D), 750 mm(3.0D) และ 875 mm(3.5D) เพื่อทำการทดสอบหากการกระจายอุณหภูมิสูงสุด ภายในห้องเพาใหม่แบบหมุนวน ซึ่งมีลักษณะและมีจุดต่างๆ ดังรูปที่ 1 และรูปที่ 2



รูปที่ 2 แสดงขนาดและความสูงของท่อทึบไอลิสัย

ในการติดตั้งชุดอุปกรณ์การทดสอบ เริ่มต้นจากการประกอบด้วย เตาเผาใหม้แต่ละส่วนเข้าด้วยกัน เมื่อติดตั้งเรียบร้อยแล้ว ให้ทำการติดตั้ง Thermocouple Type K จำนวน 6 ตัวเข้ากับชุด Digital Thermometer And Multichannel Switch (14) โดยอากาศที่ใช้ในการเผาใหม้ประกอบด้วยอากาศ 2 ส่วนด้วยกัน คือ อากาศส่วนปฐมภูมิ (Primary Air) และอากาศส่วนทุติภูมิ (Secondary Air) ซึ่งได้จากแหล่งต้นกำลังแหล่งเตียงวัน ก็อท Blower (1) มีชุด Power Supply (2) ใช้ทำหน้าที่ปรับความเร็วของชุดมอเตอร์ขับของ Blower (1) ในส่วนของอากาศในท่อ Primary Air จะผ่านชุด Needle Valve (4) ซึ่งมีหน้าที่ควบคุมอัตราการไหล และวัดอัตราการไหลผ่านชุด Orifice Plate และ Manometer(5) ซึ่งอากาศส่วนปฐมภูมิ จะเข้าไปผสมกับแก๊สที่ชุดท่อลมของเครื่องป้อนแก๊ส โดยแก๊สจะถูกบรรจุภายใน Hopper(9) จะลำเลียงเข้าสู่ชุดท่อลมโดยใช้ Screw Feeder(8) และมี Inverter(7) เป็นชุดปรับรับความเร็วของมอเตอร์ เพื่อทำให้เกิดการผสมและคลุกเคล้าอากาศกับเชื้อเพลิงก่อนเข้าสู่เตาเผาใหม้ ส่วน Secondary Air จะผ่านเข้าสู่ท่อลมโดยมีชุด Needle Valve(10) ซึ่งมีหน้าที่ควบคุมอัตราการไหลและวัดอัตราการไหลผ่านชุด Orifice Plate และ Manometer (11) และจะแบ่งอากาศส่วนนี้ออกเป็น 8 ส่วนเท่า ๆ กันเพื่อจ่ายลมให้กับเตาเผาส่วนกลาง (4 ส่วน) และเตาเผาส่วนล่าง (4 ส่วน) โดยจะจ่ายลมเข้าทางพนังบริเวณกึ่งกลางเตาเผา ซึ่งท่อลมจะติดตั้งสมผัสมั่นด้านในของห้องเผาใหม้และตั้งฉากกับรัศมีเตาทุก ๆ 90 องศา ทั้งเตาเผาส่วนบนและส่วนล่าง เมื่อติดตั้งชุดอุปกรณ์เรียบร้อยแล้วจึงเริ่มทำการอุ่นเตาเผาใหม้ แสดงดังรูปที่ 3

ในการเผาไหมันน้ำจามเป็นต้องมีการอุ่นเตาก่อนเสมอ โดยจะอุ่นเตาด้วย LPG Supply (18) โดยใช้หัว Burner เป็นตัวปรับเปลี่ยนสีน้ำเงิน จากนั้นนำเข้าไปที่ห้องเผา (19) เพื่อให้มีอุณหภูมิสูงที่เหมาะสมต่อการเผาไหมันสีน้ำเงิน ซึ่งในขั้นตอนเริ่มอุ่นเตาให้มีอุณหภูมิประมาณ 450°C จนอุณหภูมิภายในเริ่มคงที่ จึงทำการ Feed เข้าเพลิงแกลบเข้าไปในปริมาณน้อย เพื่อทำให้เกิดการเผาไหมัน ซึ่งหลังจากแกลบถูกเผาไหมันแล้วจะถ่ายค่าความร้อนของแกลบออกมานี้ผลทำให้อุณหภูมิสูงขึ้น จนอุณหภูมิภายในสูงถึงประมาณ $600-700^{\circ}\text{C}$ ซึ่งขณะนี้แกลบสามารถติดไฟได้ด้วยตัวเองแล้ว จึงหยุดให้ LPG Supply และเริ่มทำการทดลองต่อไป



- 1. Blower 2. Power Supply 3. Bypass Valve 4. Needle Valve
- 5. Manometer 6. Primary Air Nozzle 7. Inverter 8. Screw Feeder
- 9. Hopper 10. Needle Valve 11. Manometer 12. Secondary Air Nozzle
- 13. Thermocouple Type K 14. Digital Thermometer Switch
- 15. Vortex Combustor 16. Stack 17. Cyclone 18. LPG Supply
- 19. Burner Nozzle

รูปที่ 3 ผังแสดงชุดอุปกรณ์การทดลอง เตาเผาอ้วร์เทคโนโลยี

ค่า Equivalence ratio เป็นค่าที่แสดงถึงปริมาณอากาศต่อเชื้อเพลิงที่ใช้ในการเผาไหมันจริงต่อทางทฤษฎี เราชفةหาค่า Equivalence ratio ได้จากสมการต่อไปนี้ [4]

$$\Phi = \frac{(m_f / m_a)_{act}}{(m_f / m_a)_{sto}} \quad (1)$$

เมื่อ m_a คือ อัตราการไหลของอากาศ (kg/min)

m_f คือ อัตราการไหลของเชื้อเพลิง (kg/min)

โดยสัดส่วนผสมจะเรียกว่า

ส่วนผสมหนา	Fuel-rich mixture	เมื่อ	$\Phi > 1$
ส่วนผสมพอดีทางเคมี	Stoichiometric	เมื่อ	$\Phi = 1$
ส่วนผสมบาง	Fuel-lean mixture	เมื่อ	$\Phi < 1$

อัตราการไหลเชิงปริมาตรของอากาศทุกติดภูมิต่ออากาศทั้งหมด เป็นตัวแปรที่ศึกษา ในเรื่องของการเพิ่มความบันบวนในขณะเกิดการเผาไหมันระหว่างเชื้อเพลิงกับอากาศ ซึ่งเป็นสมการความสัมพันธ์ได้ดังนี้ [5]

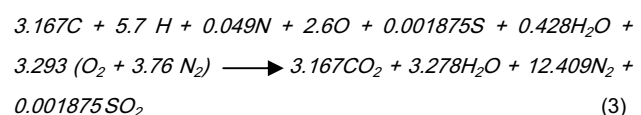
$$\lambda = \frac{Q_s}{Q_t} \quad (2)$$

เมื่อ Q_s คือ ปริมาณอากาศทุกติดภูมิ
 Q_t คือ ปริมาณอากาศทั้งหมด

ตารางที่ 1. ข้อมูลองค์ประกอบของเชื้อเพลิงแกลบ [6]

Composition of rice husk	Percent (%)
Carbon	38.0
Hydrogen	5.70
Oxygen	41.6
Nitrogen	0.69
Sulfur	0.06
Volatile matter	55.6
Fixed carbon	20.1
Moisture	10.3
Ash	14.0

นำค่าที่ได้จากการมาสมดุลสมการทางเคมี จะได้สมการเผาไหมัน พอดีทางเคมี ดังต่อไปนี้



3. การทดลอง

1. ติดตั้งเตาเผาไหมันอ้วร์เทคโนโลยีพร้อมอุปกรณ์การทดลอง (ดังรูปที่ 3) ที่ ขนาดเส้นผ่านศูนย์กลาง และ ความสูงของห้องเผาไหมัน เท่ากับ 0.2D และ 2.0D ตามลำดับ ($D = 250\text{ mm}$) (ดังรูปที่ 2) เริ่มทำการอุ่นเตา ก่อนการทดลอง หลังจากนั้นป้อนแกลบและอากาศเพื่อทำการเผาไหมันอุณหภูมิภายในเริ่มคงที่.

2. กำหนดค่า $\lambda = 0.15$ คงที่ [5] (λ คือ อัตราส่วนการไหลเชิงปริมาตรของอากาศทุกติดภูมิต่ออากาศทั้งหมด)

3. ปรับอัตราการไหลของอากาศให้ค่า $\Phi = 0.8$

4. เริ่มบันทึกอุณหภูมิที่ระดับความสูง $x = 0.0625\text{ m}, 0.1875\text{ m}, 0.3125\text{ m}, 0.4375\text{ m}, 0.5625\text{ m}$ และ 0.6875 m (x คือ ความสูงของเตาเผาอ้วร์เทคโนโลยี)

5. บันทึกอุณหภูมิที่เวลา นาทีที่ 10 และ นาทีที่ 20, บันทึกผลการทดลอง สังเกตควันและเก็บขี้เถ้าที่ได้จากการเผาไหมันและวิเคราะห์ องค์ประกอบของก้าชที่เกิดจากการเผาไหมัน

6. ทดลองตามข้อที่ 3-5 ปรับ $\Phi = 1.0$ และ 1.2 ตามลำดับ บันทึกผลการทดลอง

7. ทำการทดลองตามข้อที่ 1 เพิ่มความสูงของห่อไอเสียห่อไอเสีย เท่ากับ 2.5D, 3.0D และ 3.5D ตามลำดับ ทำการทดลองซ้ำข้อที่ 2-6 บันทึกผลการทดลอง

8. ทำการทดลองตามข้อที่ 1 เปลี่ยนขนาดของห่อทึ้งไอเสียจาก 0.2D เป็น 0.4D และ 0.6D ตามลำดับ ทำการทดลองซ้ำข้อที่ 2-7 บันทึกผลการทดลอง

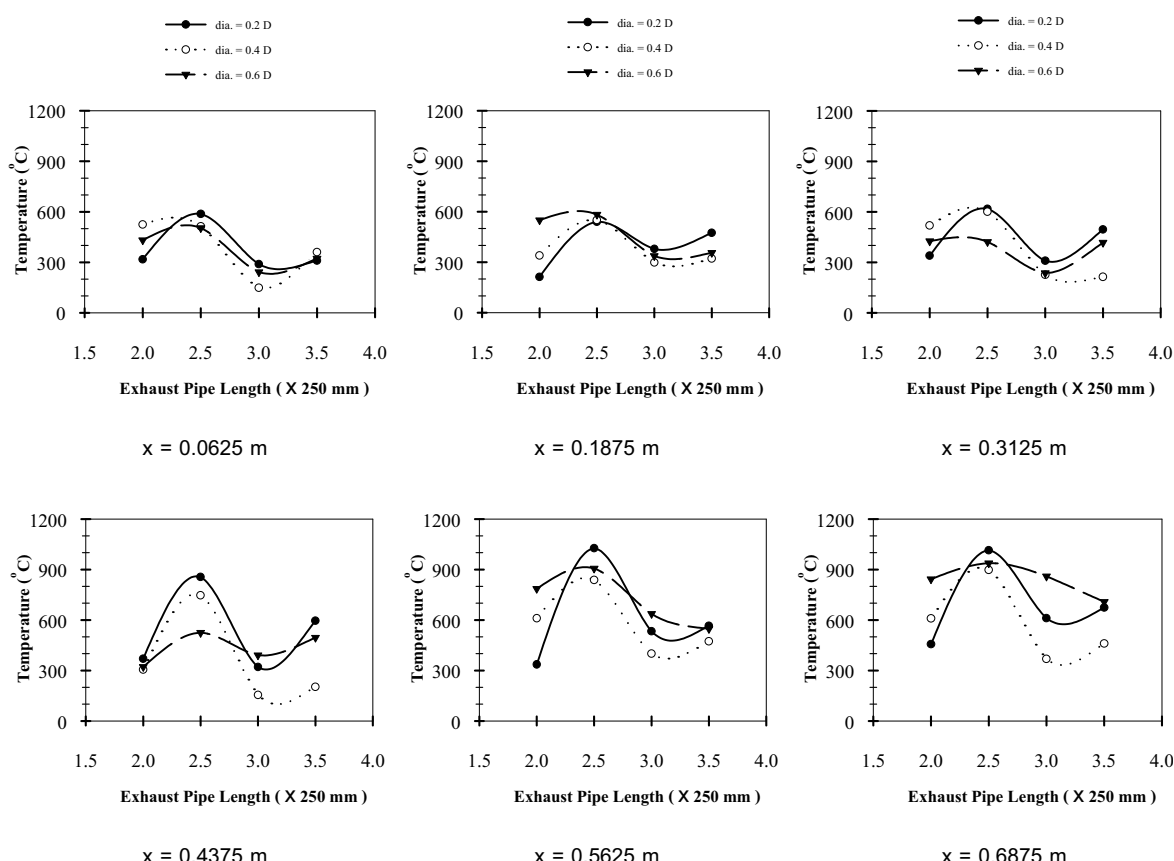
4. ผลการทดลอง

จากการทดลอง การเผาไหม้เชื้อเพลิงแก๊สภายในห้องเผาไหม้ แบบหมุนวนขนาดเส้นผ่านศูนย์กลาง 250 mm โดยการวัดตำแหน่ง อุณหภูมิภายในห้องเผาไหม้จะแบ่งห้องเผาไหม้ออกเป็น 2 ส่วนคือ ส่วนล่าง และส่วนบน โดยห้องเผาไหม้ส่วนล่าง จะกำหนดตั้งแต่ในส่วน ที่มีแกนกลางห่อทึ้งไอเสียอยู่ และห้องเผาไหม้ส่วนบนคือ ส่วนของห้องเผาไหม้ตั้งแต่ เหนือแกนห่อทึ้งไอเสียขึ้นไป ดังรูปที่ 1 และ 2 โดยจะทำการศึกษา การกระจายอุณหภูมิภายในห้องเผาไหม้แบบหมุนวนของ เตาเผา

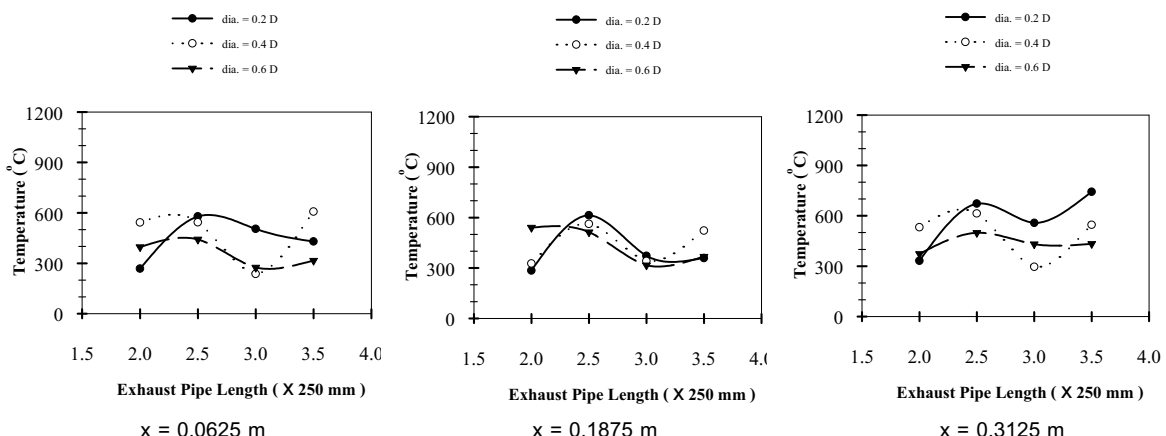
4.1 อิทธิพลของขนาดและความสูงห่อทึ้งไอเสีย ที่ $\Phi = 0.8$

จากรูปที่ 4 แสดงการกระจายอุณหภูมิภายในห้องเผาไหม้ เมื่อจากภายในห้องเผาไหม้ส่วนล่างนี้ ที่ $x = 0.0625$ m, 0.1875 m เป็นช่วงเริ่มต้นการเผาไหม้ระหว่างเชื้อเพลิงกับอากาศ ฉะนั้นการ เกิดปฏิกิริยาการเผาไหม้จึงยังไม่สมบูรณ์มากนัก ทำให้อุณหภูมิที่เกิด

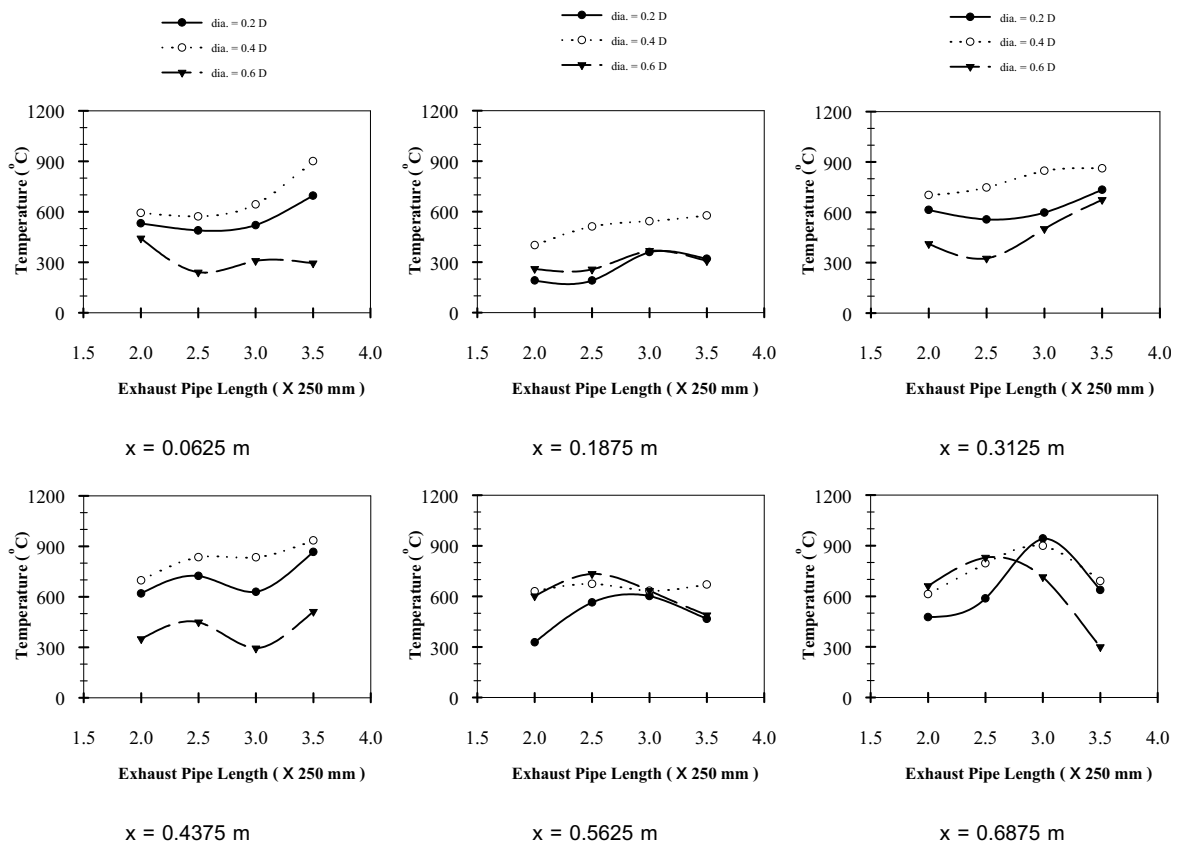
จากการเผาไหม้ภายในห้องเผาไหม้ส่วนล่างนี้ยังมีการกระจายอุณหภูมิ ในช่วงแรก ๆ มีอุณหภูมิอยู่ระหว่าง 300-600 °C แต่ผลจากการ ทุบติดภูมิ ซึ่งเป็นอากาศที่มีเดือดเข้าด้านข้างรอบผนังห้องเผาไหม้เมื่อส่วนที่ ช่วยทำให้เกิดความปั่นป่วน ขณะเกิดการเผาไหม้เพิ่มขึ้น ทำให้ อุณหภูมิที่เกิดจากการเผาไหม้สูงขึ้น ที่ตำแหน่ง $x = 0.4375$ m วัด อุณหภูมิได้ประมาณ 600-900 °C เมื่อการเผาไหม้ดำเนินมาถึงห้องเผาไหม้ส่วนบน $x = 0.5625 - 0.6875$ m พบร่วมกับการกระจายอุณหภูมิสูง มากขึ้น ถึงประมาณ 1,050 °C เมื่อมากจากห้องเผาไหม้ส่วนบน เกิด recirculating flow [7] ส่งผลต่อความปั่นป่วนรุนแรงเพิ่มขึ้น อุณหภูมิจึง สูงขึ้นอย่างมาก จากการทดลองที่ความสูงของห่อทึ้งไอเสียที่ 2.5D ให้ อุณหภูมิเฉลี่ยสูงสุด สูงกว่าที่ 3.0D และ 3.5D เนื่องจากที่ความสูง 2.5D มีพื้นที่ห้องเผาไหม้ส่วนบนมากกว่า ทำให้การคลุกเคล้าระหว่าง เชื้อเพลิงกับอากาศ ในขณะเกิดการเผาไหม้เป็นไปอย่างทั่วถึงและชั่ง ส่งผลดีต่อเวลาในการเผาไหม้นานยิ่งขึ้นด้วย ส่วนขนาดของห่อทึ้งไอเสียที่ 0.2D จากการทดลองพบว่า จะให้อุณหภูมิการเผาไหม้สูงกว่าที่ 0.4D และ 0.6D เมื่อจากห่อทึ้งไอเสียขนาดใหญ่เกินไป จะทำให้พื้นที่ ภายในห้องเผาไหม้ลดลงด้วย จึงส่งผลต่อ เวลาในการเผาไหม้ รวมถึง การคลุกเคล้าระหว่างเชื้อเพลิงกับอากาศเป็นไปอย่างไม่ทั่วถึง การ เกิดปฏิกิริยาการเผาไหม้ที่ห้องเผาไหม้ส่วนล่าง จึงมีอุณหภูมิไม่สูงมาก นัก



รูปที่ 4 เปรียบเทียบอุณหภูมิภายในห้องเผาไหม้ขนาดเส้นผ่านศูนย์กลาง 250 mm ณ. ตำแหน่งวัดอุณหภูมิต่าง ๆ ที่ $\Phi = 0.8$



รูปที่ 5 เปรียบเทียบอุณหภูมิภายในห้องเผาใหม้ขนาดเส้นผ่านศูนย์กลาง 250 mm ณ. ตำแหน่งวัดอุณหภูมิต่าง ๆ ที่ $\Phi = 1.0$



รูปที่ 6 เปรียบเทียบอุณหภูมิภายในห้องเผาใหม้ขนาดเส้นผ่านศูนย์กลาง 250 mm ณ. ตำแหน่งวัดอุณหภูมิต่าง ๆ ที่ $\Phi = 1.2$

4.2 อิทธิพลของขนาดและความสูงท่อทึ้งไอเสีย ที่ $\Phi = 1.0$

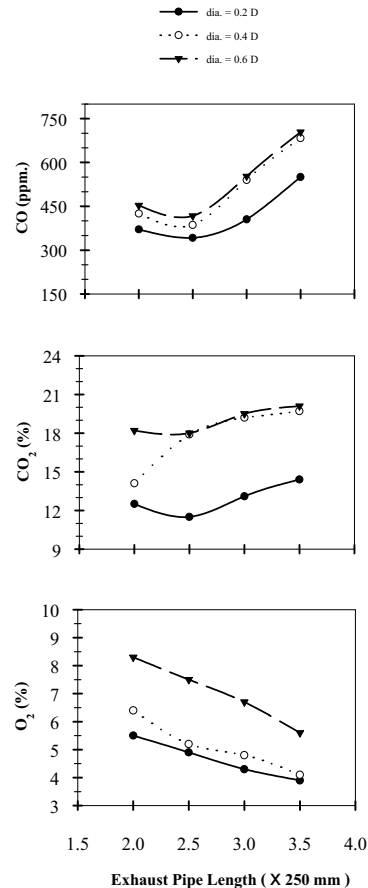
จากรูปที่ 5 การเผาไหม้เริ่มต้นที่ห้องเผาไหม้ส่วนล่าง โดยได้รับผลของอากาศทุติยภูมิ แต่การกระจายอุณหภูมิภายในห้องเผาไหม้ส่วนล่างนี้ค่อนข้างจะสม่ำเสมอกว่ารูปที่ 4 อุณหภูมิที่วัดได้อยู่ในช่วง $350-600^{\circ}\text{C}$ หลังจากการเผาไหม้คำนวณมาถึงห้องเผาไหม้ส่วนบน $x = 0.5625 \text{ m}$ อุณหภูมิที่วัดได้สูงขึ้นเมื่อตัวแบบแนวโน้มเดียวกับรูปที่ 4 เมื่อการเผาไหม้มากขึ้นห้องเผาไหม้ส่วนบน $x = 0.5625 - 0.6875 \text{ m}$ จะได้รับผลของ recirculating flow [7] ส่งผลให้อุณหภูมิสูงขึ้น แต่จากการสังเกตเห็นการกระจายอุณหภูมิค่อนข้างสูงกว่าบริเวณห้องเผาไหม้ส่วนล่างมาก และจากการทดลองสามารถวัดอุณหภูมิเฉลี่ยที่ห้องเผาไหม้ส่วนบนได้ประมาณ 900°C

4.3 อิทธิพลของขนาดและความสูงท่อทึ้งไอเสีย ที่ $\Phi = 1.2$

รูปที่ 6 เป็นผลของการทดลองที่ใช้อุณหภูมิท่อทึ้งไอเสียที่ $0.4D$ จึงให้การกระจายอุณหภูมิสูงสุด เพราะพื้นที่ภายในห้องเผาไหม้ส่วนล่างลดลง เนื่องจากถูกแทนที่ด้วยขนาดห้องท่อทึ้งไอเสียที่ใหญ่ขึ้น จึงทำให้พื้นที่ภายในห้องเผาไหม้บริเวณนี้ ใช้อากาศในการเผาไหม้กับเชื้อเพลิงลดลงตามสัดส่วนของพื้นที่ที่ลดลง ซึ่งจะตรงกับการทดลองในกรณีที่ $\Phi = 1.2$ ขณะนั้นที่บริเวณห้องเผาไหม้ส่วนล่าง ($x = 0.0625 - 0.4375 \text{ m}$) ที่ขนาดห้องท่อทึ้งไอเสีย $0.4D$ การกระจายอุณหภูมิสูงสุดวัดได้ประมาณ $700-900^{\circ}\text{C}$ และพบว่าในช่วงนี้ ระดับความสูงของห้องท่อทึ้งไอเสียมีผลต่อการกระจายอุณหภูมิไม่นักนัก ซึ่งที่ห้องเผาไหม้ส่วนบน $x = 0.6875 \text{ m}$ ที่ขนาดห้องท่อทึ้งไอเสีย $0.4D$ การเผาไหม้ระหว่างเชื้อเพลิงกับอากาศเริ่มลดลง แต่ที่ขนาดห้องท่อทึ้งไอเสีย $0.2D$ กกลับเพิ่มสูงขึ้น เนื่องจากเชื้อเพลิงกับอากาศที่เผาไหม้ยังไม่สมบูรณ์ ในห้องเผาไหม้ส่วนล่างนั้น จะเริ่มปฏิกิริยาการเผาไหม้สมบูรณ์มากยิ่งขึ้นที่ช่วงห้องเผาไหม้ส่วนบนนี้ และที่ขนาดและความสูงของห้องท่อทึ้งไอเสีย $0.2D$ และ $3.0D$ ตามลำดับ วัดอุณหภูมิสูงสุดได้ประมาณ 950°C

4.4 ผลของก๊าซไอเสียที่เกิดจากการเผาไหม้

จากการทดลอง เมื่อปรับค่า equivalence ratio (Φ) เท่ากับ 0.8 , 1.0 และ 1.2 และให้อัตราส่วนของปริมาณการไหลของอากาศทุติยภูมิต่อบริมาณอากาศทั้งหมด (λ) คงที่ เท่ากับ 0.15 ซึ่งจากการทดลองพบว่าการเปลี่ยนแปลงขนาดและความสูงของห้องท่อทึ้งไอเสีย มีผลต่อการเปลี่ยนแปลงปริมาณ ก๊าซคาร์บอนมอนอกไซด์, ก๊าซออกซิเจน และก๊าซคาร์บอนไดออกไซด์ เนื่องจากขนาดเส้นผ่านศูนย์กลางของห้องท่อทึ้งไอเสียที่มีขนาดใหญ่เกินไป และอยู่ในระดับความสูงที่ต่ำกว่าครึ่งหนึ่งของห้องเผาไหม้(จากรูปที่ 2) โดยตำแหน่งดังกล่าวจะเป็นระดับเดียวกับช่วงบริเวณที่มีการเผาไหม้ระหว่างเชื้อเพลิงกับอากาศยังไม่สมบูรณ์มากนัก ซึ่งจะทำให้เชื้อเพลิงเหล่านั้นจำนวนหนึ่งหลุดออกจากห้องท่อทึ้งไอเสีย จากห้องเผาไหม้ ทำให้มีปริมาณ ก๊าซคาร์บอนมอนอกไซด์และ ก๊าซคาร์บอนไดออกไซด์ที่วัดได้อยู่ในระดับสูง โดยการทดลองการเผาไหม้ในเตาเผาอิร์เทกที่ $\Phi = 0.8$ โดยขนาดและความสูงของห้องท่อทึ้งไอเสียเท่ากับ $0.2D$ และ $2.5D$ ตามลำดับ สามารถวัดค่าก๊าซคาร์บอนมอนอกไซด์ต่ำสุดได้ 342 ppm ก๊าซคาร์บอนไดออกไซด์เท่ากับ 11.5% และ ก๊าซออกซิเจนเท่ากับ 4.9% (รูปที่ 7)



รูปที่ 7 องค์ประกอบของก๊าซไอเสีย ประกอบด้วย CO, CO₂, และ O₂

5. สรุปผลการทดลอง

1. การเปลี่ยนความสูงของห้องท่อทึ้งไอเสียภายในห้องเผาไหม้ของเตาเผาอิร์เทก พบว่าความสูงที่เพิ่มขึ้นมีผลต่อการกระจายอุณหภูมิภายในห้องเผาไหม้ส่วนล่างน้อยมาก แต่มีผลอย่างมากกับห้องเผาไหม้ส่วนบน เนื่องมาจากผลของ recirculating flow [7] ทำให้เกิดความบันปวนต่อการคลุกเคล้าระหว่างเชื้อเพลิงกับอากาศ ในขณะเดียวกันปฏิกิริยาการเผาไหม้ซึ่งเป็นปัจจัยด้านบวกต่อการกระจายอุณหภูมิภายใน ทำให้อุณหภูมิสูงขึ้นอย่างมาก ส่วนอิทธิพลของขนาดห้องท่อทึ้งไอเสียนั้น ถ้าห้องท่อทึ้งไอเสียมีขนาดเส้นผ่านศูนย์กลางใหญ่เกินไป จะส่งผลให้พื้นที่ภายในห้องเผาไหม้ลดลง และเวลาในการเผาไหม้จะนานยิ่งขึ้น การเกิดปฏิกิริยาการเผาไหม้จึงเกิดไม่สมบูรณ์ อุณหภูมิที่วัดได้จะไม่สูงมากนัก

2. การให้ส่วนผสมระหว่างเชื้อเพลิงน้อยกว่าอากาศ ($\Phi < 1$) จะสอดคล้องตามหลักการ การเผาไหม้จริง ที่จำเป็นต้องให้อากาศมากกว่าเชื้อเพลิง จึงจะให้ผลการกระจายอุณหภูมิที่สูงและมีพิษต่ำ ซึ่งจะพบว่าก๊าซไอเสียที่เกิดขึ้นมีองค์ประกอบของ CO และ CO₂ น้อยกว่า การเผาไหม้ที่ให้ส่วนผสมระหว่างเชื้อเพลิงมากกว่าอากาศ ($\Phi > 1$)

3. ในขณะเดียวกันการเผาไหม้ อากาศทุติยภูมิมีส่วนช่วย ทำให้อุณหภูมิจากการเผาไหม้สูงขึ้น เนื่องจากอากาศส่วนนี้จะเข้าไปทำให้เกิดความบันปวนระหว่างเชื้อเพลิงกับอากาศ ส่งผลให้อากาศสามารถ

เข้าทำปฏิกรรมการเผาไฟมัคบันเชื้อเพลิงได้อย่างทั่วถึง ซึ่งอุณหภูมิที่วัดได้ ณ. ตำแหน่งที่มีห้องเผาอากาศทุติยภูมิจะมีอุณหภูมิสูงกว่าบริเวณใกล้เคียงกันที่ไม่มีอากาศทุติยภูมิ

6. กิตติกรรมประกาศ

บทความวิจัยนี้สำเร็จไปได้ด้วยดีต้องขอขอบคุณ มหาวิทยาลัยสยาม ที่ส่งเสริมเรื่องการทำงานวิจัยของคณาอาจารย์ และ ท่านอาจารย์ รศ.ดร. พงษ์เจต พรมวงศ์ สถาบันเทคโนโลยีพระจอมเกล้าเจ้าคุณทหารลาดกระบัง

7. เอกสารอ้างอิง

- [1] Sen Nieh and Tim T. Fu, "Development of a Non-Slagging Vortex Combustor (VC) for Space/Water Heating Applications" Proc. 5th International Coal Conf., 1988, pp. 761-768.
- [2] Pongjet promvonge, "A Low Emission Annular vortex Combustor Firing Rice Husk Fuel: Part II – Experiment Investigation" The First Regional Conference on Energy Technology Towards a Clean Environment, 1st-2nd December 2000 The Empress Hotel, Chang Mai, Thailand.
- [3] David G. Sloan, Philip J. Smith and L. Douglas Smooth "Modeling of Swirl in Turbulent Flow Systems" Energy Combustion Sci, 1986, Vol. 12, pp. 163-250.
- [4] Stephen R. Turns, "An Introduction to Combustion (Concepts and Applications), International Editions", 1996, pp. 19.
- [5] วิศิษฐ์ ลีลาพาติกุล "Effect of The Height of Swirl Chamber on Combustion Behaviors of Rice Husk Fuel" การประชุมวิชาการเครือข่ายวิชาการเครื่องกลแห่งประเทศไทยครั้งที่ 19 จังหวัดภูเก็ต, 19-21 ตุลาคม 2548. หน้า 1,121-1,127
- [6] วิศิษฐ์ ลีลาพาติกุล "การศึกษาเชิงทดลองของห้องเผาไฟมัคบันเชื้อเพลิงแกลบ" การประชุมวิชาการเครือข่ายพลังงานแห่งประเทศไทยครั้งที่ 1 จังหวัดชลบุรี, 11-13 พฤษภาคม 2548. หน้า 77-82
- [7] Jian Zhang and Sen Nieh "Numerical Simulation of Effects of Center Tube and Multiple Air Injection on the Gas Flow Field in a Vortex Combustor" Combustion Sci. and Tech., 1992, Vol.88, pp. 43-57.